

## Sähkövirta-analogia

virta  $I$

$$\text{"vuo"} \quad I = \frac{V}{r} = cV$$

jännite  $V$

$$I = c(V_s - V_o)$$

resistanssi  $r$

$$\text{konduktanssi} \quad c = \frac{1}{r}$$

(Ohmin laki)

## Rajakerroksen esittäminen malleissa

2

paju s. 44

paju s. 15

$$T_0 = \rho C_d |V| V$$

$$T = -\rho \overline{u'w'}$$

$$H_0 = \rho C_p C_n |V| (\theta_0 - \theta)$$

$$H = \rho C_p \overline{\theta'w'}$$

$$E_0 = \rho C_q |V| (q_0 - q)$$

$$E = \rho \overline{q'w'}$$

$$V = \sqrt{U^2 + V^2}$$

termi  $|V|V$  ajan takaa ettei kitkalla on sama suunta kuin pintaauvalla

$$\text{Saa daan: } -\overline{u'w'} = C_d |v| v$$

$$\overline{\theta'w'} = C_h |v| (\theta_0 - \theta)$$

$$\overline{q'w'} = C_q |v| (q_0 - q)$$

Siirtokertoimet:  $C_d$ ,  $C_h$ ,  $C_q$       ( $d = \text{drag}$ )

Kuin Ohmin laki, paitsi ette lisäksi termi  $|v|$ .

$C_d$  kitkakerroin

$C_h$  Stantonin luku

$C_q$  Daltonin luku

Tässä  $T_0$ ,  $H_0$ ,  $E_0$  kuvaa mäntyn  
maanpinnan ja mallin (tai mittauksen)  
alimman hilakorkenden, esim. 10m,  
välillä. (Arvot mäntyvät jos korkkuus mänttun)

pruja s. 20:

$$\text{kinemaattinen lämmönkuva } Q_0 = \overline{\theta' w'} = \frac{H_0}{\rho c_p}$$

$$T_* u_* = - \overline{\theta' w'} = - Q_0$$

$$q_* u_* = - \overline{q' w'} = \frac{E_0}{\rho}$$

Siltotekniikille sanan:

$$-\overline{u'w'} = C_d |v| v$$

↑

$$= u_*^2$$

Valitään u pintaan len saavutti seksi:

$$u_*^2 = C_d u^2 = C_d u(u - 0)$$

$$= -C_d u(0 - u)$$

$$\left[ C_d = \frac{-u_* u_*}{u(0 - u)} \right] \quad u = u(10 \text{ m})$$

$$\overline{\theta' w'} = C_h |v| (\theta_0 - \theta)$$



$$= -T_* u_*$$

$$\Rightarrow C_h = \frac{-T_* u_*}{u(\theta_0 - \theta)}$$

$$\theta = \theta(10 \text{ m})$$

$$\overline{q' w'} = C_q |v| (q_0 - q)$$



$$= -q_* u_*$$

$$\Rightarrow \left[ C_q = \frac{-q_* u_*}{u(q_0 - q)} \right]$$

$$q = q(10^m)$$

Sris:

$$C_d = \frac{-u_* u_*}{u(0-u)}$$

$$C_h = \frac{-T_* u_*}{u(\theta_0 - \theta)}$$

$$C_q = \frac{-q_* u_*}{u(q_0 - q)}$$

$$C_d = \frac{-u_* u_*}{u(0-u)} = \frac{-u_*^2}{-u^2} = \frac{u_*^2}{u^2}$$

pieni

Monin - Obukhov - teoriasta:



$$u = \frac{u_*}{k} \left( \ln \frac{z}{z_0} - \psi_m \left( \frac{z}{L} \right) + \psi_m \left( \frac{z_0}{L} \right) \right)$$

$$u = \frac{u_*}{k} \left( \ln \frac{z}{z_0} - \psi_m \left( \frac{z}{L} \right) \right)$$

$$\Rightarrow \frac{u_*}{u} = k \left( \ln \frac{z}{z_0} - \psi_m \left( \frac{z}{L} \right) \right)^{-1}$$

$$C_d = k^2 \left( \ln \frac{z}{z_0} - \psi_m \left( \frac{z}{L} \right) \right)^{-2}$$

$$\zeta_h = \frac{-u_* T_*}{u(\theta_0 - \theta)} = \frac{u_*}{u} \frac{T_*}{\theta - \theta_0}$$

pieni

$$\theta - \theta_0 = \frac{T_*}{k} \left( \ln \frac{z}{z_{oh}} - \psi_h \left( \frac{z}{L} \right) + \psi_h \left( \frac{z_{oh}}{L} \right) \right)$$

$$\frac{T_*}{\theta - \theta_0} = k \left( \ln \frac{z}{z_{oh}} - \psi_h \left( \frac{z}{L} \right) \right)^{-1}$$

$$\Rightarrow \zeta_h = k^2 \left( \ln \frac{z}{z_0} - \psi_m \left( \frac{z}{L} \right) \right)^{-1} \left( \ln \frac{z}{z_{oh}} - \psi_h \left( \frac{z}{L} \right) \right)^{-1}$$

Ihan samalla tavalla:

12

$$C_q = \frac{-u_* q_*}{u(q_0 - q)} = \frac{u_*}{u} \frac{q_*}{q - q_0}$$

$$q - q_0 = \frac{q_*}{k} (\dots)$$

$$\frac{q_*}{q - q_0} = (\dots)$$

$$C_q = k^2 \left( \ln \frac{z}{z_0} - \psi_m \left( \frac{z}{L} \right) \right)^{-1} \left( \ln \frac{z}{z_{0q}} - \psi_q \left( \frac{z}{L} \right) \right)^{-1}$$

Siirto kertoimet  $C_d$ ,  $C_h$ ,  $C_q$

riippuvat siis:

- $z_0 / z_{0h} / z_{0q}$  alustan rosorisus
- $L$  stabilitus
- $z$  referensikorkens

## Vesi alusta

rosoisuus  $z_0$  pieni

$T_0$  = pintaveden lämpötila, helppo

$q_0$  voidaan olettaa ettei ilma heti  
veden pinnassa on kyllästynyt,  
eli  $q_0 = q_{\text{sat}}(T_0, P_0)$

L yläensä stabiilisuus lähellä neutralia

Tunten nopeus  $u$ , siirto kertoimien  
osalta, tarkoittaa ilman ja veden  
välistä nopeuseroa

Tunten nopeus vaikuttaa rosorisanteen

Charnockin kaava, s. 18

$$z_0 = 0.015 \frac{u_*^2}{g}$$

## Maa-alusta

$z_0$  rosiosuus voidaan arvioida kun  
tiedetään alustan laatu

$\theta_0, z_{0h}$  Vaikeita

$q_0, z_{0g}$

Jos mihinkin useammalta korkendelta,  
voidaan näin laskea profiileista

Prujua sää:

$$K_m = \frac{kz}{\phi_m(\xi)} u_*$$

$$K_h = \frac{kz}{\phi_h(\xi)} u_*$$

S. 21:  $\frac{z}{u_*} \frac{\partial u}{\partial z} = \frac{1}{k} \phi_m(\xi) \Leftrightarrow u_* = \frac{kz}{\phi_m(\xi)} \frac{\partial u}{\partial z}$

$$\Rightarrow K_m = \frac{(kz)^2}{\phi_m(\xi)^2} \frac{\partial u}{\partial z}$$

$$K_h = \frac{(kz)^2}{\phi_m(\xi) \phi_h(\xi)} \frac{\partial u}{\partial z}$$

(prufassa  
nieman erilainen  
johdo)

$$\varphi_m(\xi) = \frac{1}{\phi_m(\xi)^2} , \quad f_n(\xi) = \frac{1}{\phi_m(\xi) \phi_n(\xi)}$$

$$K_m = k^2 z^2 \frac{\partial u}{\partial z} \varphi_m(\xi)$$

$$K_n = k^2 z^2 \frac{\partial u}{\partial z} \varphi_n(\xi)$$

## Elastabiliti

pruju s. 22

19

Businger-Dyer:

$$\phi_m^2 = \phi_h = (1 - 16 \xi)^{-\frac{1}{2}}$$

$$R_i \approx \xi = \frac{z}{L}$$

$$f_m(\xi) = f_m(R_i) = (1 - 16 R_i)^{\frac{1}{2}}$$

$$f_h(\xi) = f_h(R_i) = (1 - 16 R_i)^{\frac{3}{4}}$$

# Stabiliti

proj. S. 22

20

Businger - Dyer

$$\phi_m = \phi_h = 1 + 5\varsigma$$

$$R_i \approx \frac{5}{1+5\varsigma} \quad \Rightarrow \quad \varsigma = \frac{R_i}{1-5R_i}$$

$$f(\varsigma) = \frac{1}{\phi^2} = \frac{1}{(1+5\varsigma)^2}, \quad 1 + 5 \frac{R_i}{1-5R_i} = \frac{1}{1-5R_i}$$

$$f(R_i) = (1 - 5R_i)^2$$

$$\text{Eli: } K_m = (kz)^2 \frac{\partial u}{\partial z} f_m(R_i)$$

$$K_h = (kz)^2 \frac{\partial u}{\partial z} f_h(R_i)$$

Vaihtokertoimien riippuvuus  
 stabilitetistä saadaan kerättyä  
 Richardsonin luvun avulla.

$R_{ib}$  bulk-Richardsonin luku

Alun perin siirto kerroin määriteltiin:

$$-\overline{u'w'} = C_d |v| v$$

$$-\overline{u'w'} = K \frac{\partial u}{\partial z}$$

Neutralissa:

$$C_d |v| v = K \frac{\partial u}{\partial z} = (kz)^c \left( \frac{\partial u}{\partial z} \right)^2$$

Ei-neutralissa:

$$C_d |v| v = K \frac{\partial u}{\partial z} = (kz)^c \left( \frac{\partial u}{\partial z} \right)^2 f_m(R_i)$$

Siirtokeertoimet voidaan siiressä ilmoittaa

neutralin tilanteen siirtokeertoimien ja  
stabilisointikorjausten  $\epsilon_m$ ,  $f_h$  avulla:

$$C_d = C_{dn} f_m(R_i)$$

$$C_h = C_{hn} f_h(R_i)$$

$$C_g = C_{gn} \epsilon_n(R_i)$$

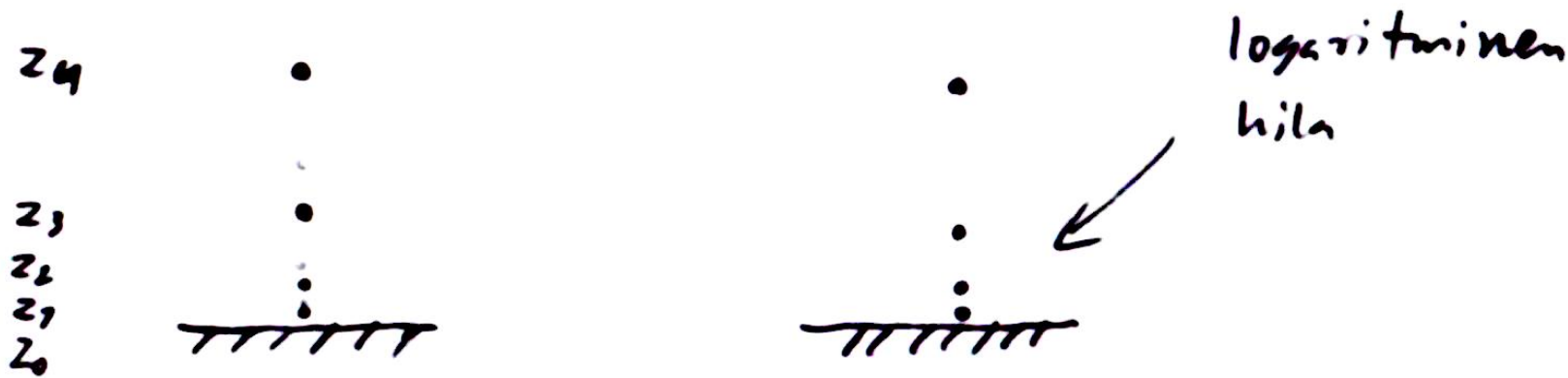
Stabiilissa tilanteessa sekä  
vaihtokertoimet K ehtivät  
siirtokertoimet C pienempiksi.

Epästabiilissa suurempia.

Rosolauksen kasvu voimistaa  
siirtokertoimia, mutta jarruttaa  
tunulta, mikä heikentää vaihtokertoimia.

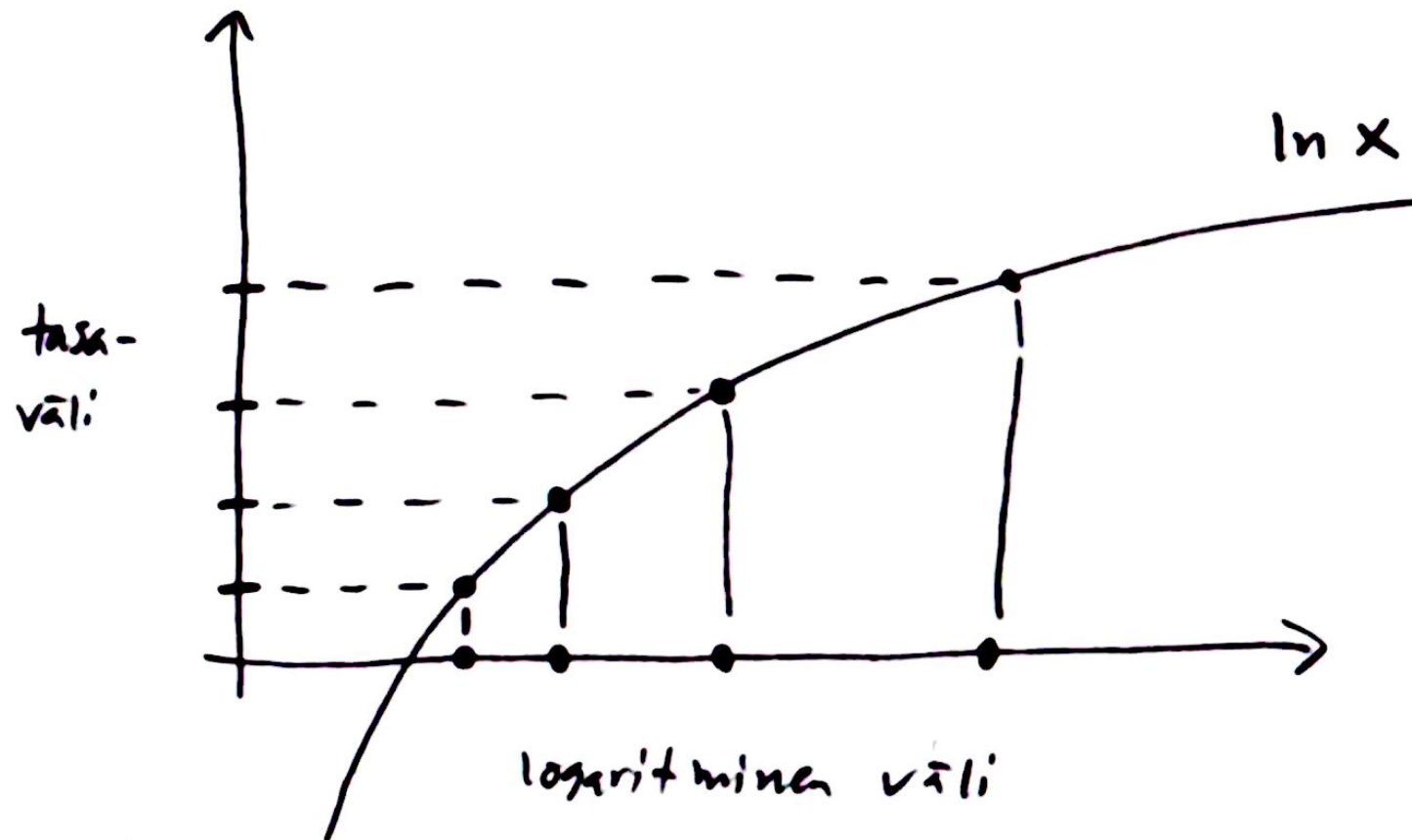
# Raja kerros ilmakehä malleissa

$$z_5 \quad \cdot \quad t_1 \rightarrow t_2 \quad \cdot$$



$$u(z) \ v(z) \ w(z)$$

$$\theta(z) \ \varphi(z)$$

Logaritmisen hila

## 1. asteen sulkeuma

$$\begin{matrix} \vec{V}_t(z_i) \\ \theta_t(z_i) \\ q_t(z_i) \end{matrix} \quad \left\{ \right. \longrightarrow \quad \begin{matrix} \vec{V}_{t+1}(z_i) \\ \theta_{t+1}(z_i) \\ q_{t+1}(z_i) \end{matrix}$$

Blackadar:

$$\lambda = \frac{kz}{1 + \frac{kz}{\lambda}}$$

$$\lambda = 300 \text{ m}$$

$$(l = kz)$$

$$\overline{s'w'} = -K_s \frac{\partial s}{\partial z}, \quad K_s = \lambda^2 \left| \frac{\partial V}{\partial z} \right| f_s(R_i)$$

lasketaan joka kerrokselle

## 1.5 asteen sulkeuma

$$\begin{array}{c}
 \vec{V}_t(z_i) \\
 \theta_t(z_i) \\
 q_t(z_i) \\
 \hline
 \frac{TKE_t(z_i)}{\epsilon_t(z_i)}
 \end{array} \left\{ \rightarrow \begin{array}{c}
 \vec{V}_{t+1}(z_i) \\
 \theta_{t+1}(z_i) \\
 q_{t+1}(z_i) \\
 \hline
 \frac{TKE_{t+1}(z_i)}{\epsilon_{t+1}(z_i)}
 \end{array} \right. \begin{array}{l} \text{jos ilman} \\ \epsilon:ta \end{array}$$

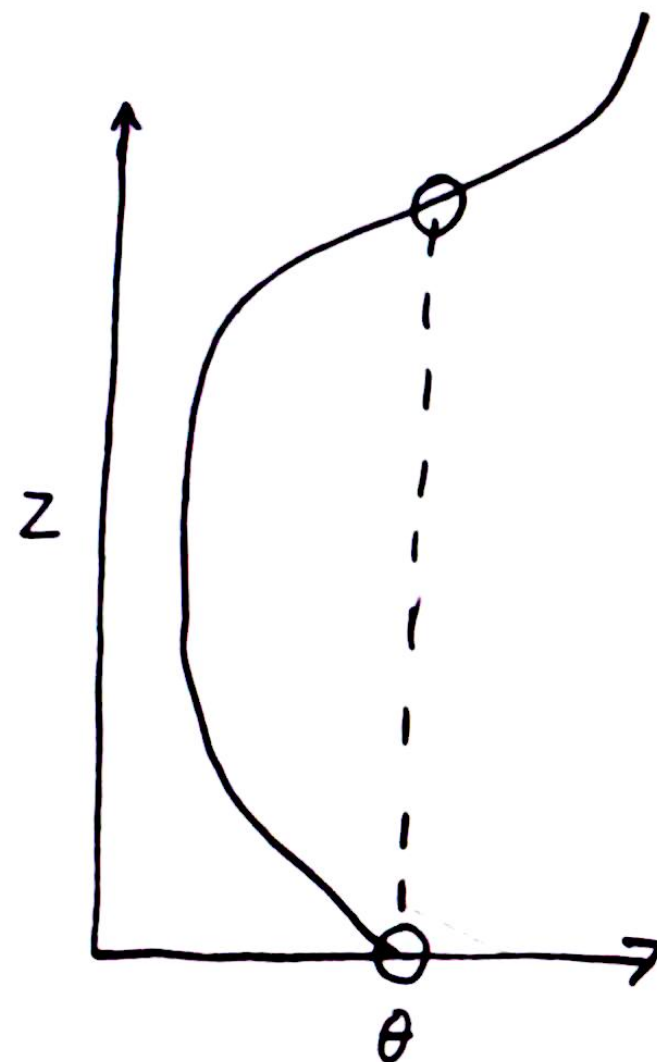
$$\overline{s'w'} = -K_s \frac{\partial s}{\partial z}, \quad K_s = A_s TKE^{\frac{y_2}{2}}, \quad \epsilon = \frac{TKE^{\frac{3}{2}}}{A_s}$$

## K-teoria on paikallinen

$$\frac{\partial \theta}{\partial z} = S_\theta + \frac{\partial}{\partial z} \left( K_h \frac{\partial \theta}{\partial z} \right)$$

$$\frac{\partial \theta}{\partial z} \approx \frac{\theta_{i+1} - \theta_{i-1}}{z_{i+1} - z_{i-1}}$$

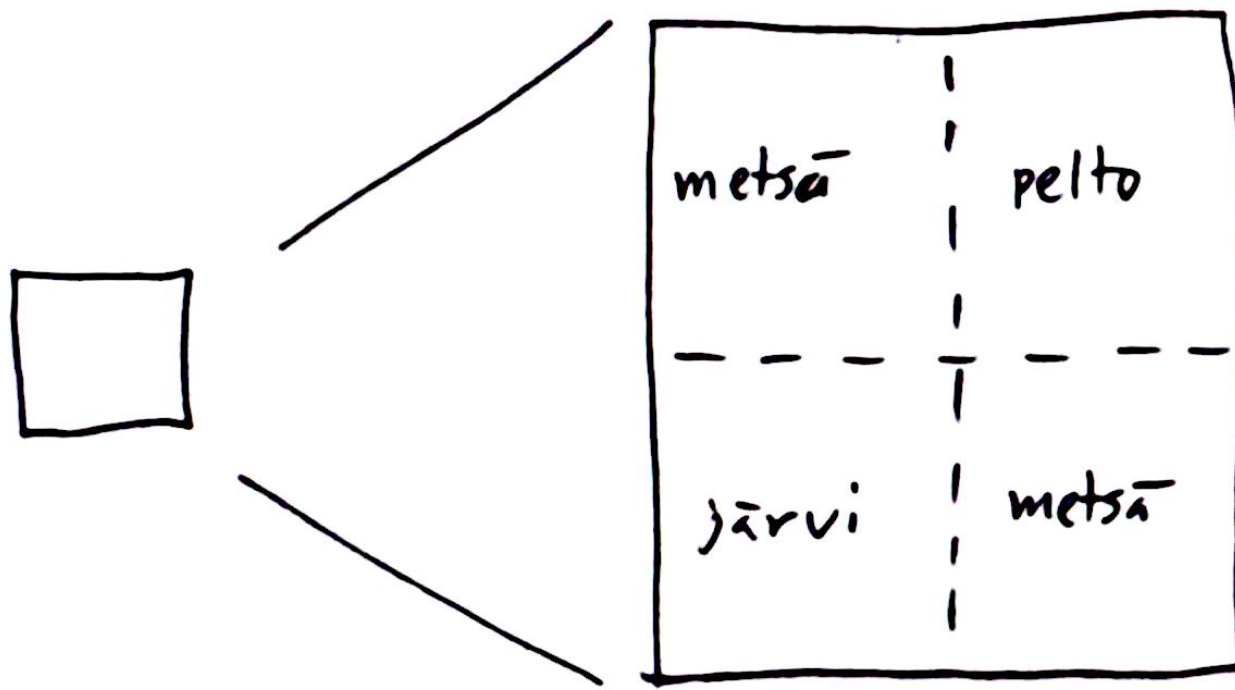
$z_{i+1}$   
 $\cdot$   
 $z_i$   
 $\cdot$   
 $z_{i-1}$



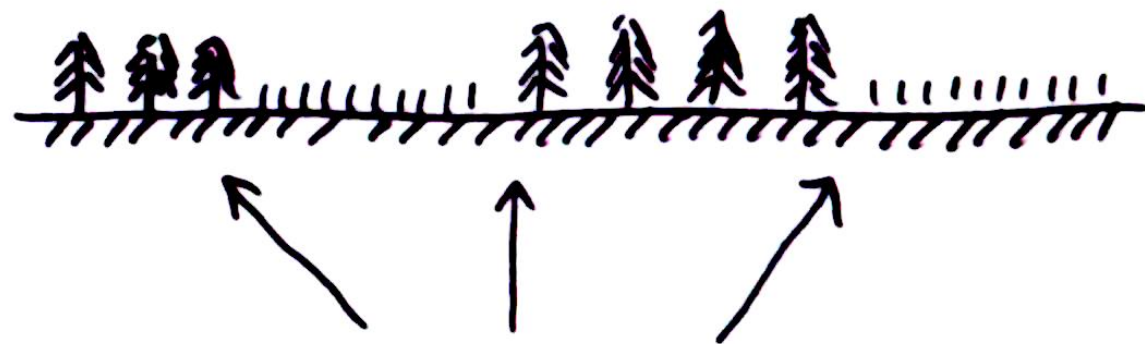
## Alustan heterogeneusisyyys

Säämälleissa ruudun koko  
kilometrejä, esim. 8 km.

IImattonalalleissa kymmeniä  
tai satoja kilometrejä.



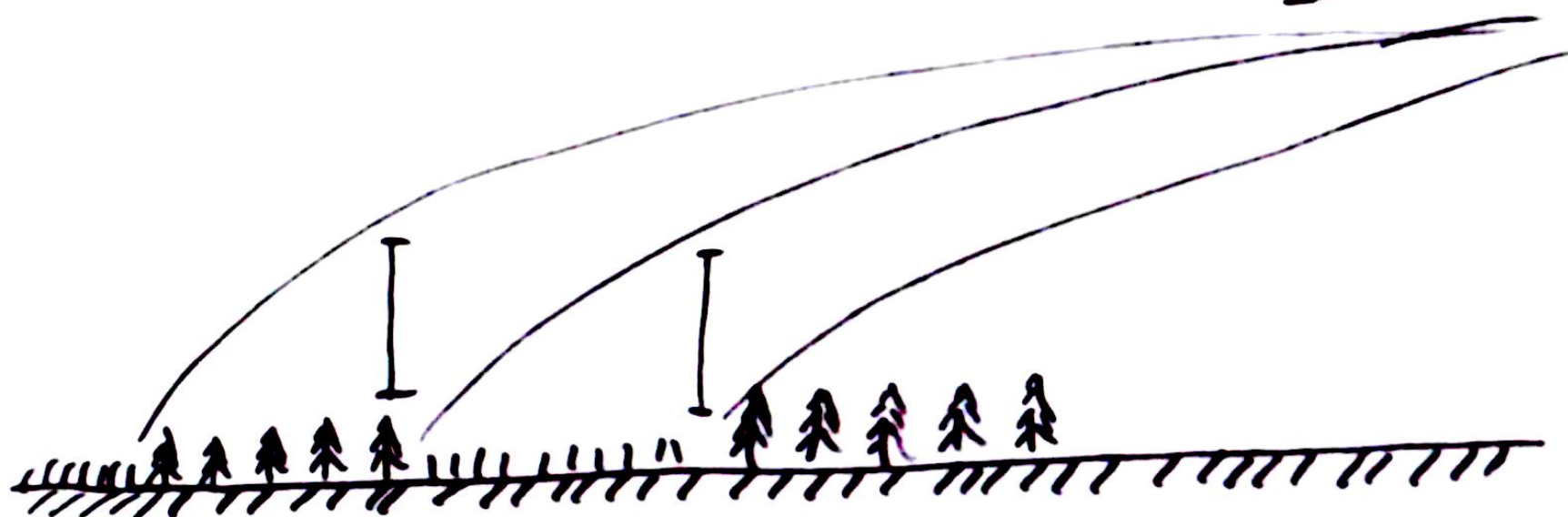
$$z_0(\text{mosaiikki}) > z_0(\text{metsä})$$



rennat aihentavat sunnunmaan  
mittakaavan kattaa

Kestiarvo profiliin  
vasta sisäisiä  
raja kerroksia  
korkeammalla

$$\ln \frac{z}{z_0}$$



## Lämmön ja kosteuden vuot helmpompiä

34

Ruutu =      30% metsää  
                  50% peltöä  
                  20% vettä

$$H_i = \rho c_p C_n^i (\theta_s^i - \theta_a) |u|$$

↑                ↑                ↑  
zoh              Pinta            ilma

$$\langle H \rangle = 0.3 H_1 + 0.5 H_2 + 0.2 H_3$$